

# Calage bayésien pour du pronostic hybride – Application à l'étude du colmatage des générateurs de vapeur

Edgar Jaber

Séminaire des Doctorants I3P du projet iAS  
10/09/2024

**Encadrants** : E. Remy, V. Chabridon (EDF R&D)

**Co-directeurs** : D. Lucor (LISN), M. Mougeot (Centre Borelli)

**Collaborateurs** : M. Keller, B. Iooss, M. Baudin, Q. Feng (EDF R&D)



# Sommaire

Colmatage des GV et motivations

Outils à disposition

Pronostic hybride par calage Bayésien

Conclusion et perspectives

Annexes

# Sommaire

Colmatage des GV et motivations

Outils à disposition

Modèle physique : THYC-Puffer-DEPOTHYC

Modèle statistique : ESTICOL

Pronostic hybride par calage Bayésien

Conclusion et perspectives

Annexes

# Le générateur de vapeur (GV)

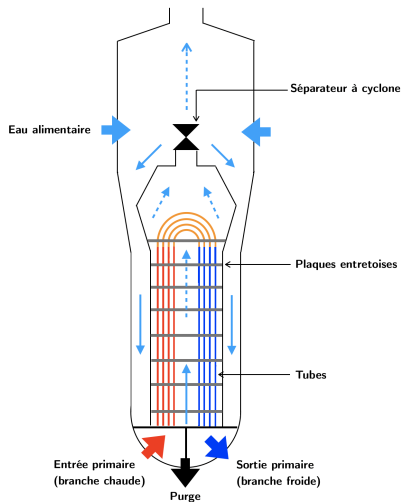


Figure – Schéma d'un générateur de vapeur (GV) typique (source : dessin propre).

## Cas d'étude industriel

- ▶ Colmatage des plaques entretoises → phénomène complexe affectant les GVs du parc nucléaire français
- ▶ Apparaît sur de longues périodes d'exploitation → dû à la déposition progressive de produits de corrosion issus du circuit secondaire
- ▶ Augmente le risque de vibration des tubes et peut affecter la réponse du GV à des transitoires hypothétiques
- ▶ Taux de colmatage → mesuré par des *examens télévisuels* (ETV)
- ▶ ETV sont mesurés lors des arrêts de tranche → peu de mesures à disposition en tant que « vérité terrain »

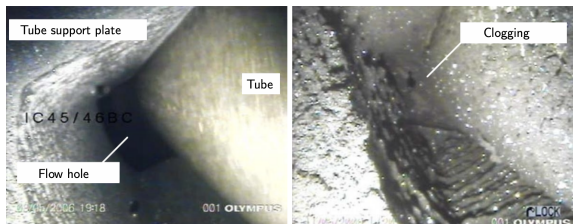


Figure – Exemple d'un ETV © EDF.

# Cas d'étude industriel

- ▶ Réduire ponctuellement le colmatage → maintenances préventives par nettoyages chimiques (NC)
- ▶ Pour appuyer la planification des maintenances → travaux de R&D pour mieux comprendre, estimer et prédire le taux de colmatage  $\tau_c$
- ▶ Les différents outils issus de ces travaux sont aujourd'hui capitalisés dans la plateforme **Jumeau Numérique GV (JNGV)**
- ▶ Deux typologies d'outils :
  - ▶ *Modèle de simulation numérique* : THYC-Puffer-DEPOTHYC → basé sur une modélisation physico-chimique multi-échelle [Prusek, 2012; Feng et al., 2023]
  - ▶ *Modèle statistique* : ESTICOL → basé sur des données opérationnelles de la centrale et les ETV [Pincioli et al., 2021]
- ▶ But de la thèse : *hybrider* ces modèles pour un pronostic du colmatage plus robuste

## Notions de pronostic

- ▶ Le taux de colmatage  $\tau_c$  représente un indice de *dégradation* :  $\varphi_a$
- ▶ L'évènement d'intérêt pour la planification des maintenances est  $\{\tau_c(t) > c\}$  (dépassement de seuil) → seuil conservatif
- ▶ Quantité d'intérêt est le RUL (Remaining Useful Life) [Bregon and Daigle, 2019], défini pour un certain GV à partir du temps présent  $t_P$

$$\text{RUL}(\text{GV}, t_P, c) = \arg \min_{t > t_P} |\tau_c(t) > c|. \quad (1)$$

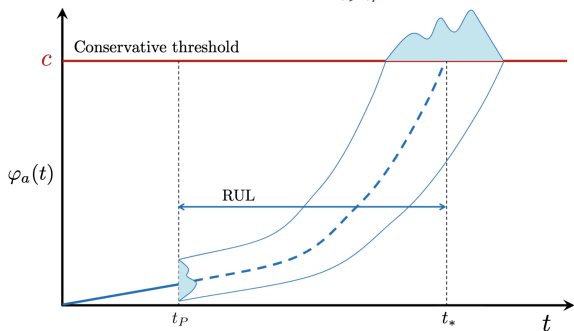


Figure – Illustration du RUL, incertitudes sur un modèle de dégradation et impact sur le pronostic, adapté de [Bregon and Daigle, 2019].

# Objectif de la thèse

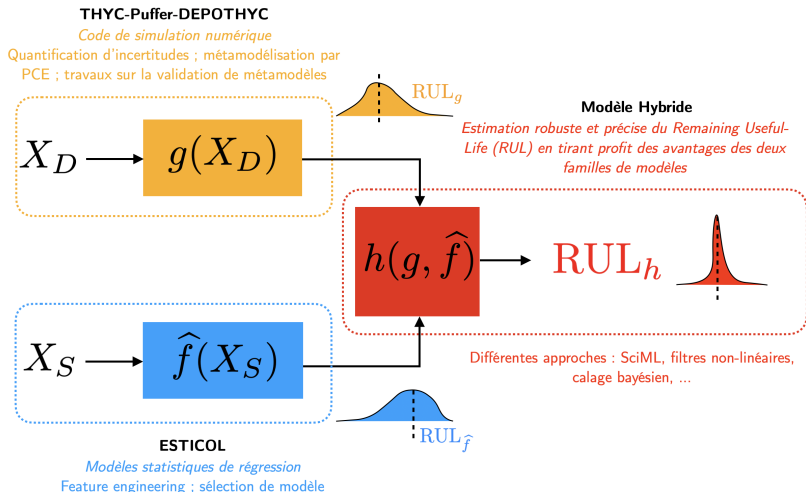


Figure – Schéma objectif de thèse (source : dessin propre)



# Sommaire

Colmatage des GV et motivations

Outils à disposition

Modèle physique : THYC-Puffer-DEPOTHYC

Modèle statistique : ESTICOL

Pronostic hybride par calage Bayésien

Conclusion et perspectives

Annexes

# Physique du colmatage

- ▶ Première brique : DEPOTHYC/COLMATHYC, développé par [Prusek, 2012] → système EDO-EDP mixte → permet de simuler la cinétique de colmatage à horizon de temps court
- ▶ Se base sur la validité physique des champs thermohydrauliques stationnaires → invalide sur des longues périodes d'exploitation
- ▶ Couplage multi-physique pour la simulation en temps long : THYC-Puffer-DEPOTHYC, développé par [Feng et al., 2023] → permet aussi de prendre en compte le conditionnement chimique (pH) du fluide grâce à un code de chimie (Puffer)
- ▶ Le modèle de colmatage correspond au système suivant (2 EDP de transport pour les fractions massiques + 1 EDO de croissance de matière pour la masse de magnétite) :

$$\begin{cases} \partial_t \Gamma_p + U \cdot \nabla \Gamma_p = f_p(\Phi_p, \Phi_s, \Gamma_p, \Gamma_s^{\max}) \\ \partial_t \Gamma_s + U \cdot \nabla \Gamma_s = f_s(\Phi_p, \Phi_s, \Gamma_s, \Gamma_s^{\max}) \\ dm_c/dt = \Phi_p + \Phi_s \\ \Gamma_s(0, \cdot) = \Gamma_s(0), \Gamma_p(0, \cdot) = \Gamma_p(0) \end{cases} \quad (2)$$

# Le code THYC-Puffer-DEPOTHYC (TPD)

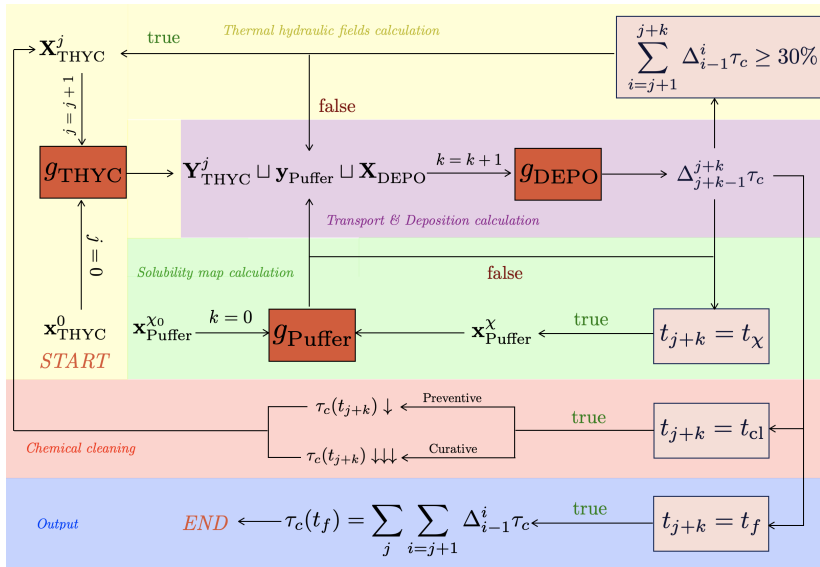


Figure – Architecture de TPD.

# Jeu de données de TPD

- ▶ Par avis d'expert + travaux antérieurs [Lefebvre et al., 2023] :  $d = 7$  variables d'entrée du module de dépôt  $g_{\text{DEPO}}$  entâchées d'incertitude (dont un paramètre de **calage**)  $\rightarrow$  traitement probabiliste avec lois indépendantes données dans la table ci-dessous :

$$\mathbf{X}_{\text{DEPO}} = (\mathbf{X}, \theta) = (\alpha, \beta, \epsilon_e, \epsilon_c, d_p, \Gamma_p(0), a_v) \sim \otimes_{i=1}^d \mathbb{P}_{X_i} \quad (3)$$

- ▶ On dispose d'un  $n$ -échantillon en *given-data* de  $n = 1000$  tirages Monte-Carlo (i.i.d.) tirés selon les lois données ci-dessous :

Variable	Signification	Distribution
$\alpha$	Premier paramètre de corrélation empirique	$\mathcal{N}(101.6, 4.0)$
$\beta$	Second paramètre de corrélation empirique	$\mathcal{N}(0.0233, 0.0005)$
$\epsilon_e$	Porosité des dépôts d'encrassement	$\mathcal{T}(0.2, 0.3, 0.5)$
$\epsilon_c$	Porosité des dépôts colmatants	$\mathcal{T}(0.01, 0.05, 0.3)$
$d_p$	Diamètre des particules de magnétite (m)	$\mathcal{T}(0.5, 5.0, 10.0) \times 10^{-6}$
$\Gamma_p(0)$	Donnée initiale de la fraction massique solide	$\mathcal{T}(1.0, 4.5, 8.0) \times 10^{-9}$
$a_v$	Paramètre de calage	$\mathcal{U}(0.1, 12) \times 10^{-4}$

Table – Variables incertaines, signification physique et distribution.

# Métamodèle de Chaos Polynomial vectoriel de TPD

- ▶ Code TPD coûteux en temps de calcul → Métamodélisation par chaos polynomial vectoriel (PCE) sur la sortie [Soize and Ghanem, 2004] en approche non-intrusive. Ici  $\tilde{g}_{\text{TPD}} : \mathcal{X} \rightarrow \mathbb{R}^N$ , avec  $N = 75$
- ▶ Avantages du PCE : garanties d'approximation fonctionnelle, permet d'utiliser la connaissance des distributions d'entrée, analyse de sensibilité facilitée, permet de gérer la discontinuité, métamodèle déjà validé dans des travaux précédents [Jaber et al., 2024]
- ▶ Volonté de faire des processus gaussiens à plus long terme

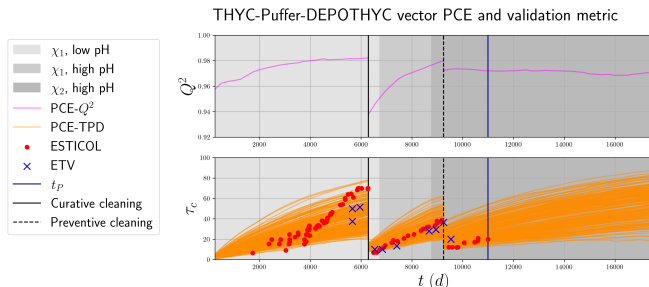


Figure – Trajectoires de PCE-TPD et variation du  $Q^2$ .

# ESTICOL

- ▶ ESTICOL  $\rightarrow$  modèle de régression utilisé pour estimer des taux de colmatage à un temps  $t < t_P$  sur des features opérationnelles "agrégées" en une seule covariable  $X^{(i)} \in \mathbb{R}$  (travaux basés sur [Pincioli et al., 2021])
- ▶  $\mathcal{D}_{\text{EST}} = \{(X^{(i)}, Y^{(i)})\}_{i=1}^P$  est le jeu de données construit avec  $Y_i$  un ETV au temps  $t_i$  et on résout le problème de minimisation :

$$(\hat{a}_{\text{EST}}, \hat{b}_{\text{EST}}) = \arg \min_{a,b} \sum_{i=1}^P w_i |aX^{(i)} + b - Y^{(i)}|^2, \quad \forall i \ w_i \propto \exp(t_i^2)$$

- ▶ Estimation à un temps  $t_j < t_P$  :

$$\hat{\tau}_c(t_j) = Y^{(j)} = \hat{a}_{\text{EST}} X^{(j)} + \hat{b}_{\text{EST}} \quad (4)$$

# Sommaire

Colmatage des GV et motivations

Outils à disposition

Modèle physique : THYC-Puffer-DEPOTHYC

Modèle statistique : ESTICOL

Pronostic hybride par calage Bayésien

Conclusion et perspectives

Annexes

# Méthodologie proposée

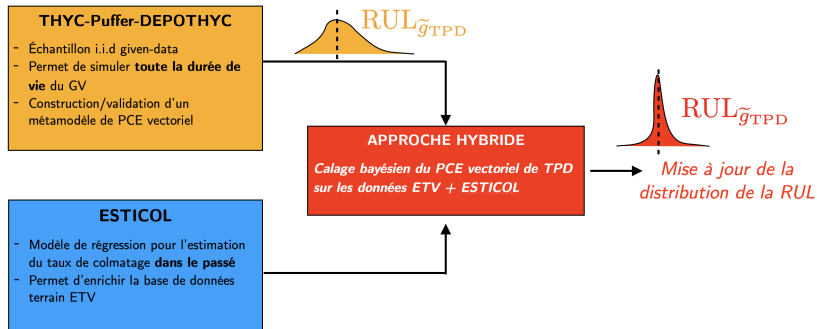


Figure – Schéma de la méthodologie hybride proposée.



## $a_v$ paramètre de calage du mécanisme de *vena contracta*

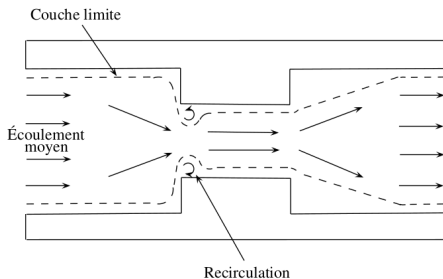


Figure – Mécanisme de vena contracta, source : [Prusek, 2012].

- ▶ Toutes les particules transportées en zone de recirculation sont déposées, d'où :

$$\Phi_p \propto K_p \Gamma_p$$

- ▶ La vitesse de déposition sur les parois  $K_p$  est donnée par :

$$K_p \propto a_v U^2 d_p^2 \rightarrow a_v \text{ à caler sur les données terrain !}$$

# Motivations méthodologie

- ▶ Compte tenu des premiers résultats d'analyse de sensibilité [Jaber et al., 2024],  $a_v \rightarrow$  grande influence sur  $\tau_c$  sur tout le temps de simulation
- ▶ Observe une grande dispersion des trajectoires de colmatage autour de la date courante  $t_p \rightarrow$  pose problème pour l'estimation d'un RUL
- ▶ Pratique actuelle  $\rightarrow$  méthodologie de calage déterministe COLMAREX [Prusek, 2012], vise à caler un  $a_v$  par GV *pour toute la durée de fonctionnement du GV*
- ▶ REX opérationnel  $\rightarrow$  cinétique de  $\tau_c$  modifiée après un nettoyage chimique ; Aspect non pris en compte par un  $a_v$  identique sur tout l'historique de fonctionnement + pas de prise en compte des incertitudes
- ▶ Besoin de développer une méthodologie spécifique de calage bayésien

# Schéma général de la méthodologie de calage bayésien

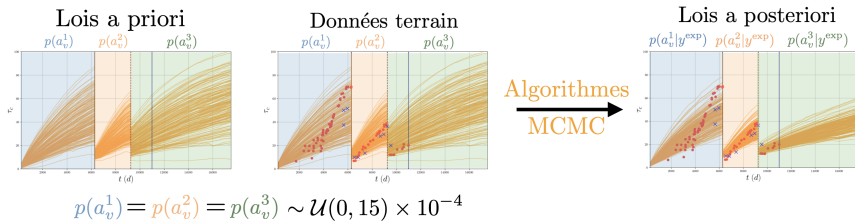


Figure – Principe du calage bayésien.

- Littérature abondante de travaux de calage de code avec métamodèle de PCE : [Marzouk et al., 2007; Marzouk and Najm, 2009; Yan and Zhou, 2019; Wagner et al., 2020]...

## Calage bayésien du paramètre $a_v$

- ▶ On recale trois distributions de  $a_v$  sur chacune des 3 périodes → avant *nettoyage curatif* (CC), entre *nettoyage curatif* et *nettoyage préventif* (CC-PC) et après le *nettoyage préventif* (PC) → choix justifié par la modification de la cinétique observée après un NC
- ▶ Utilise le métamodèle de PCE  $\tilde{g}_{\text{TPD}}$  → procédure basée sur  $m = n + 1$  calages où  $n$  est le nombre de NC réalisés sur un GV (dans notre exemple  $m = 3$ )
- ▶  $\mathcal{D}_{\text{terrain}}^k \subset \mathcal{D}_{\text{terrain}}$  sont les données terrain entre le  $k$ -ème et  $k + 1$ -ème NC, nous notons  $\mathcal{J}_k$  l'ensemble d'indices de pas de temps respectif
- ▶  $\mathbf{x}_0$  correspond à la valeur *nominale* des paramètres incertains  $\mathbf{X}$ . Le paramètre de calage  $a_v^k$  est noté  $\theta_k$
- ▶ On suppose :

$$y_i^* = \tilde{g}_{\text{TPD},i}(\mathbf{x}_0, \theta_k) + \epsilon_i^*, \quad \epsilon_i^* \sim \mathcal{N}(0, \sigma_*^2), \quad \forall i \in \mathcal{J}_k, \quad (5)$$

avec  $*$  = {ETV, EST}.

# Calage bayésien du paramètre $a_v$

- ▶ Choix des priors
  - ▶ loi uniforme pour  $\theta_k$ ,
  - ▶ prior de Jeffreys pour l'inverse de l'écart-type  $v := 1/\sigma_*^2$ ,  
 $p(v) = 1/v$
  - ▶  $\theta$  et  $\epsilon$  sont indépendants  $\rightarrow$  résidus gaussiens donnent une vraisemblance  $p(y^{\text{exp}}|\theta)$  gaussienne
- ▶ Si toutes les données terrain ont même écart-type alors on peut montrer que [Keller et al., 2022] :

$$p(\theta_k|y^{\text{exp}}) \propto (\|y^{\text{exp}} - \tilde{g}_{\text{TPD}}(\mathbf{x}_0, \theta_k)\|^2)^{-n/2}, \text{ où } n = |\mathcal{J}_k| \quad (6)$$

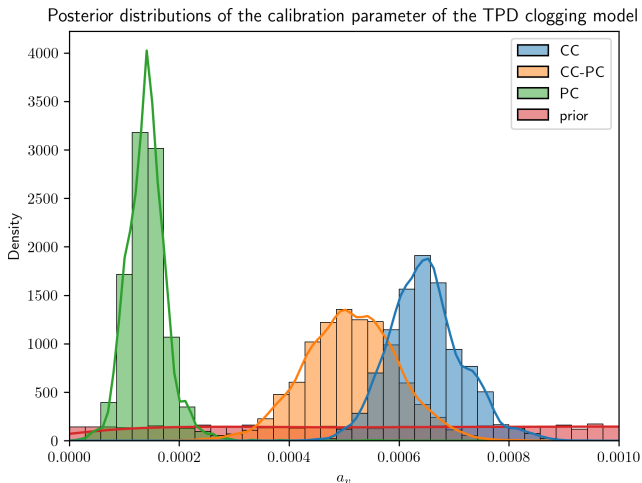
## Calage bayésien du paramètre $a_v$

- ▶ On peut généraliser cette loi a posteriori pour  $q$  groupes de données terrain  $(y_1^{\text{exp}}, \dots, y_q^{\text{exp}})$  de variances différents (dans notre cas  $q = 2$  car ETV et ESTICOL n'ont pas même variance) :

$$p(\theta_k | y^{\text{exp}}) \propto \prod_{i=1}^q (\|y_i^{\text{exp}} - \tilde{g}_{\text{TPD}}(\mathbf{x}_0, \theta_k)\|^2)^{-n_i/2}, \quad \forall k = 1, \dots, m \quad (7)$$

- ▶ Utilisation d'un algorithme MCMC de type Random-Walk Metropolis-Hastings dans OpenTURNS [[Rubinstein and Kroese, 2011](#); [Baudin et al., 2017](#)] afin d'échantillonner dans les distributions  $p(\theta_k | y^{\text{exp}})$  + test de convergence de Gelman-Rubin pour les chaînes de Markov (voir annexe)

# Résultats numériques pour le calage de la chaîne TPD



- On trouve bien des modes différents en fonction des différentes cinétiques après NC.

# Repropagation des incertitudes dans le PCE

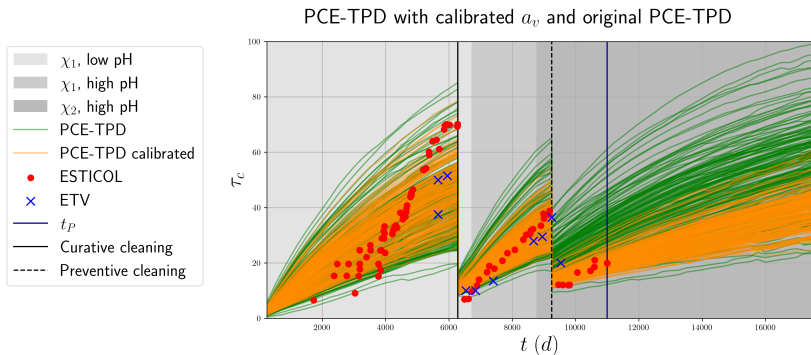


Figure – Simulations du métamodèle PCE avec  $a_v$  recalé

- ▶ Diminution de la dispersion du faisceau de trajectoires → dispersion nettement réduite dans la dernière période → peu de données mais période *utile* pour la prévision future
- ▶ Les incertitudes en prévision du PCE-TPD pour  $t > t_P$  sont ainsi *réduites*



# Sommaire

Colmatage des GV et motivations

Outils à disposition

Modèle physique : THYC-Puffer-DEPOTHYC

Modèle statistique : ESTICOL

Pronostic hybride par calage Bayésien

Conclusion et perspectives

Annexes

# Conclusion et perspectives

- ▶ Le colmatage des GV est un phénomène complexe → utilisation d'outils de modélisation physique et statistique permettent d'appuyer la planification de maintenances
- ▶ Travaux de thèse de première année :
  - ▶ Propagation d'incertitudes dans le code THYC-Puffer-DEPOTHYC et analyse de sensibilité [Jaber et al., 2024]
  - ▶ Validation de métamodèles de GP avec des outils de prédiction conforme [Jaber et al., 2023]
- ▶ Poursuite des travaux sur le calage avec un point de vue réduction d'incertitudes pour le pronostic
- ▶ Perspectives sur la méthodologie de calage : prise en compte des incertitudes des paramètres d'entrée, développement d'un métamodèle de GP pour traiter le biais de métamodèle, exploration de pistes d'hybridation à travers l'utilisation de données de capteurs

# Travaux en cours : prise en compte des incertitudes dans $\mathbf{X}$

- ▶ En toute rigueur, la densité a posteriori simulée est  $p(\theta_m | Y = y^{\text{exp}}, \mathbf{X} = \mathbf{x}_0)$ , avec  $\mathbf{x}_0$  correspondant à la valeur nominale des entrées de TPD hors le paramètre de calage
- ▶ L'hypothèse du plan d'expérience [Jaber et al., 2024] supposait l'indépendance des variables d'entrée  $(\mathbf{X}, \theta) \sim p(\mathbf{X}) \times p(\theta)$ , toutefois cette indépendance ne se propage pas sur les lois conditionnelles :

$$p(\theta | Y, \mathbf{X}) = \frac{p((\theta | Y), \mathbf{X})}{p(\mathbf{X})} \neq \frac{p(\theta | Y) \times p(\mathbf{X})}{p(\mathbf{X})}$$

- ▶ Une approche possible : intégration de la loi a posteriori [Perrin and Durantin, 2019] :

$$p(\theta | Y) = E_{\mathbf{X}}[p(\theta | Y, \mathbf{X})] = \int_{\mathcal{X}} p(\theta | Y, \mathbf{X} = \mathbf{x}) p(\mathbf{x}) d\mathbf{x} \quad (8)$$

- ▶ Objectif de travaux en cours → de rendre encore plus robuste le pronostic par une meilleure prise en compte des incertitudes

# Sommaire

Colmatage des GV et motivations

Outils à disposition

Modèle physique : THYC-Puffer-DEPOTHYC

Modèle statistique : ESTICOL

Pronostic hybride par calage Bayésien

Conclusion et perspectives

**Annexes**

# Graphes d'autocorrélation

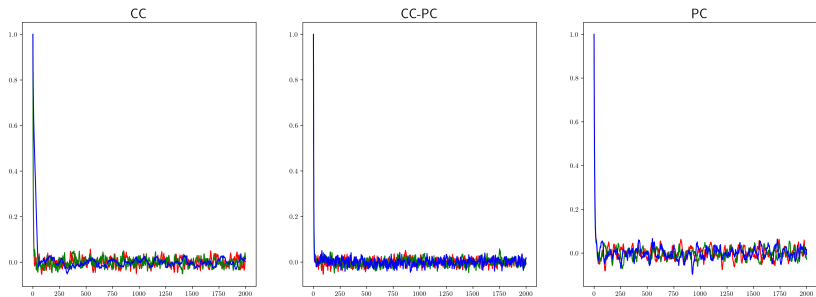


Figure – Graphes d'autocorrélation des trois chaînes de Markov sur les trois temps de simulation.

# Statistiques de Gelman-Rubin

- ▶ On initialise  $J$  chaînes de Markov de manière indépendante (dans notre cas  $J = 3$ ). Après la phase de *burn-in*, on a des échantillons  $\theta_1^{(i)}, \dots, \theta_L^{(i)}$  pour  $i = 1, \dots, J$  avec  $L$  le nombre d'itérations de la chaîne

- ▶ Calcule de la moyenne sur la chaîne, entre la chaîne

$$\bar{\theta}_i = \frac{1}{L} \sum_{k=1}^L \theta_k^{(i)}, \quad \bar{\theta}_* = \frac{1}{J} \sum_{i=1}^J \bar{\theta}_i$$

- ▶ Calcule de la variance des moyennes des chaînes et la moyenne des variances au sein d'une chaîne :

$$B = \frac{L}{J-1} \sum_{i=1}^J (\bar{\theta}_* - \bar{\theta}_i)^2, \quad W = \frac{1}{J} \sum_{i=1}^J \left( \frac{1}{L-1} \sum_{k=1}^L (\theta_k^{(i)} - \bar{\theta}_i)^2 \right)$$

- ▶ Enfin le test de Gelman-Rubin [Gelman and Rubin, 1992] se calcule selon :

$$R = \frac{(1 - 1/L)W + (1/L)B}{W} \rightarrow 1, \quad L \rightarrow \infty$$

# Tests de GR et acceptation

- Paramètres MCMC :  $J = 3$ , marche aléatoire uniforme, initialisation aléatoire, taille des pas de la marche aléatoire  $10^{-3}$

	CC	CC-PC	PC
Taux d'acceptation moyen	0.195	0.273	0.272
Test de Gelman-Rubin	1.00	1.00	1.00

Table – Taux d'acceptation moyen et test de Gelman-Rubin.

# References I

- Baudin, M., Dutfoy, A., Iooss, B., and Popelin, A. (2017). Open TURNS : An industrial software for uncertainty quantification in simulation. In Ghanem, R., Higdon, D., and Owhadi, H., editors, *Springer Handbook on Uncertainty Quantification*, pages 2001–2038. Springer.
- Bregon, A. and Daigle, M. J. (2019). *Fundamentals of Prognostics*, pages 409–432. Springer International Publishing.
- Feng, Q., Nebes, J., Bachet, M., Pujet, S., You, D., and Deri, E. (2023). Tube support plates blockage of PWR steam generators : thermalhydraulics and chemical modeling.
- Gelman, A. and Rubin, D. B. (1992). Inference from Iterative Simulation Using Multiple Sequences. *Statistical Science*, 7(4) :457 – 472.
- Jaber, E., Blot, V., Brunel, N., Chabridon, V., Remy, E., Baudin, M., Lucor, D., Mougeot, M., Iooss, B., and Leite, A. (2023). Conformalizing gaussian processes for more robust uncertainty quantification. *Preprint*.



## References II

- Jaber, E., Chabridon, V., Remy, E., Baudin, M., Lucor, D., Mougeot, M., and looss, B. (2024). Sensitivity analyses of a multi-physics long-term clogging model for steam generators. *International Journal for Uncertainty Quantification*.
- Keller, M., Damblin, G., Pasanisi, A., Schumann, M., Barbillon, P., Ruggeri, F., and Parent, E. (2022). Validation of a computer code for the energy consumption of a building, with application to optimal electric bill pricing. *Econometrics*, 10(4).
- Lefebvre, L., Segond, M., Spaggiari, R., Le Gratiet, L., Deri, E., looss, B., and Damblin, G. (2023). Improving the Predictivity of a Steam Generator Clogging Numerical Model by Global Sensitivity Analysis and Bayesian Calibration Techniques. *Nuclear Science and Engineering*, 197(8) :2136–2149.
- Marzouk, Y. M. and Najm, H. N. (2009). Dimensionality reduction and polynomial chaos acceleration of Bayesian inference in inverse problems. *Journal of Computational Physics*, 228(6) :1862–1902.

## References III

- Marzouk, Y. M., Najm, H. N., and Rahn, L. A. (2007). Stochastic spectral methods for efficient Bayesian solution of inverse problems. *Journal of Computational Physics*, 224(2) :560–586.
- Perrin, G. and Durantin, C. (2019). Taking into account input uncertainties in the Bayesian calibration of time-consuming simulators. *Journal de la Société Française de Statistique*, 160(2).
- Pincirolì, L., Baraldi, P., Shokry, A., Zio, E., Seraoui, R., and Mai, C. (2021). A semi-supervised method for the characterization of degradation of nuclear power plants steam generators. *Progress in Nuclear Energy*, 131 :103580.
- Prusek, T. (2012). *Modélisation et simulation numérique du colmatage à l'échelle du sous-canal dans les générateurs de vapeur*. Thèse de l'Université Aix-Marseille.
- Rubinstein, R. and Kroese, D. (2011). *Simulation and the Monte Carlo Method*. Wiley Series in Probability and Statistics. Wiley.

## References IV

- Soize, C. and Ghanem, R. (2004). Physical systems with random uncertainties : Chaos representations with arbitrary probability measures. *SIAM Journal On Scientific Computing*, 26(2) :395–410.
- Wagner, P.-R., Fahrni, R., Klippel, M., Frangi, A., and Sudret, B. (2020). Bayesian calibration and sensitivity analysis of heat transfer models for fire insulation panels. *Engineering Structures*, 205 :110063.
- Yan, L. and Zhou, T. (2019). Adaptive multi-fidelity polynomial chaos approach to Bayesian inference in inverse problems. *Journal of Computational Physics*, 381 :110–128.